

УДК 538.574.5 : 539.293

## ПЕРЕКРЕСТНАЯ МОДУЛЯЦИЯ ЭЛЕКТРОМАГНИТНЫХ ВОЛН В ПОЛУПРОВОДНИКАХ СО СВЕРХРЕШЕТКОЙ

*Л. К. Орлов, Ю. А. Романов*

Исследована кросс-модуляция электромагнитных волн в полупроводниках со сверхрешеткой (СР), обусловленная сильной зависимостью инкремента нарастания (затухания) и фазовой скорости сигнала от частоты и амплитуды поля накачки. Показано, что вследствие наличия отрицательной ВЧ проводимости сигнал в СР может быть существенно усилен и иметь значительно большую глубину модуляции, чем поле накачки. Форма огибающей сигнала меняется при изменении параметров поля накачки и его модуляции.

В работах [1, 2] в одноминизонном приближении исследовано поведение полупроводника со сверхрешеткой (СР) в присутствии двух переменных полей. Получены нелинейные выражения для реактивной и диссипативной составляющих плотности тока и показано, что при определенных условиях возможно усиление одного из полей.

Наличие сильной зависимости инкремента усиления (затухания) и фазовой скорости одной волны от частоты и амплитуды поля другой волны позволяет эффективно управлять величиной и формой сигнала путем изменения параметров поля накачки.

В настоящей работе рассматривается распространение слабой электромагнитной волны в сверхрешетке, находящейся под воздействием сильного высокочастотного поля накачки, промодулированного по амплитуде. В этом случае возникает перекрестная модуляция электромагнитных волн, хорошо изученная в радиодиапазоне для ионосферной плазмы [3].

Особенностью эффекта в СР является то, что вследствие отрицательной ВЧ проводимости сигнал может быть существенно усилен и иметь значительно большую глубину модуляции, чем у поля накачки. Пусть СР находится под воздействием заданного сильного высокочастотного поля, промодулированного по амплитуде с электрическим вектором  $E_1$ , направленным вдоль периода сверхрешетки:

$$E_1(x, t) = E_{10}(t) \exp[-i(\omega_1 t - k_1 x)]. \quad (1)$$

Приближение заданного поля возможно для СР с малой плотностью электронов, для частот вдали от собственных плазменных колебаний и в областях самоиндуцированной прозрачности [4]. Ниже по крайней мере одно из этих условий будем считать выполненным.

Рассмотрим распространение в этой системе слабой электромагнитной волны с той же поляризацией электрического поля и граничным значением при  $x = 0$ :

$$E_2 = E_{20} e^{-i\omega_2 t}. \quad (2)$$

Для определенности запишем модулированную амплитуду поля в виде

$$E_{10}(t) = E_{10}(1 + \mu \cos \gamma t), \quad (3)$$

где  $\mu$  и  $\gamma$  — глубина и частота модуляции соответственно. Будем считать выполненными условия квазистатичности

$$\gamma \ll \tau^{-1}, \quad \omega_{1,2} \quad (4)$$

( $\tau$  — время релаксации функции распределения). В этом случае связь между током и полем определяется мгновенными значениями амплитуд взаимодействующих полей. Поэтому комплексная диэлектрическая проницаемость СР на частоте слабой волны  $\omega_2$  имеет вид [1, 5]

$$\varepsilon(\omega_2) = \varepsilon_0 \left[ 1 - \frac{\omega_0^2}{\omega_2} \sum_{\nu=-\infty}^{\infty} \frac{J_{\nu}^2 \left( \frac{\Omega_1(t)}{\omega_1} \right)}{(1 + i\nu\omega_1\tau)(\omega_2 - \nu\omega_1 + i\tau^{-1})} \right], \quad (5)$$

где  $\Omega_1(t) = eE_{10}(t)d/j\hbar$ ,  $d$  — период,  $\omega_0$  — плазменная частота свободной СР,  $\varepsilon_0$  — диэлектрическая проницаемость кристалла,  $J_{\nu}(x)$  — функция Бесселя. При выводе (5) считалось, что частоты  $\omega_1$  и  $\omega_2$  несоизмеримы или относятся друг к другу, как большие целые числа.

Из (5) следует, что при определенных значениях  $E_{10}$  волна «2» может быть нарастающей. Соответствующие области неустойчивости трудно получить из результатов работ [1, 5] и соотношения

$$\operatorname{Re} \sigma(\omega_2) = \sigma_c(\Omega_c = \omega_2),$$

где  $\sigma_c$  — нелинейная статическая проводимость сверхрешетки в постоянном поле  $E_c = \frac{\hbar\Omega_c}{ed}$  в присутствии сильного высокочастотного поля

$E_2$ ,  $\Omega_c$  — штарковская частота осцилляций электронов в минизоне в постоянном электрическом поле  $E_c$ . Для случаев  $\omega_1\tau = 1$ ,  $\omega_1\tau = 10$  области неустойчивости приведены на рис. 1. Пунктиром приведены линии  $\Omega_1^*(\omega_2/\omega_1)$ , соответствующие  $\max|\operatorname{Re} \sigma(\omega_2)|$  при фиксированных отношениях  $\omega_2/\omega_1$ . Кривые  $\operatorname{Im} \varepsilon(\omega_2)$  вдоль этих экстремальных линий приведены на рис. 2. Максимальным значениям  $\Omega_1^*$  соответствует  $\omega_2/\omega_1 = 0,9, 1,9, 2,9$  при  $\omega_1\tau = 10$  и  $\omega_2/\omega_1 = 1,45$  при  $\omega_1\tau = 1$ . На рис. 3 представлены зависимости  $\operatorname{Re} \varepsilon(\omega_2)$  и  $\operatorname{Im} \varepsilon(\omega_2)$  от приведенной амплитуды  $E_{10}$  для  $\omega_2/\omega_1 = 1,45$  при  $\omega_1\tau = 1$  и для  $\omega_2/\omega_1 = 1,9$  при  $\omega_1\tau = 10$ .

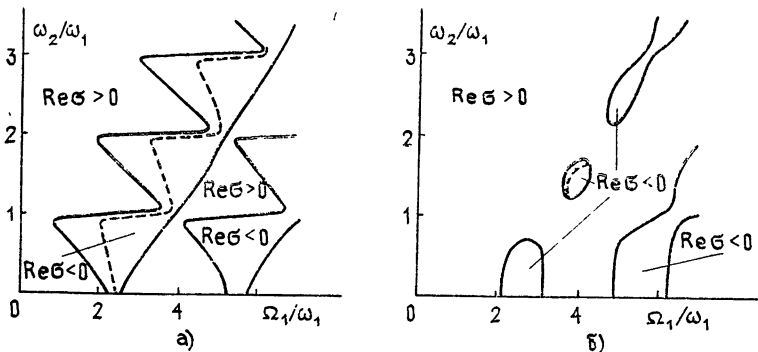


Рис. 1. Границы области неустойчивости высокочастотного поля  $E_2$  в присутствии сильного высокочастотного поля  $E_1$  при а)  $\omega_1\tau = 10$ , б)  $\omega_1\tau = 1$ . Пунктиром отмечено положение максимального инкремента усиления.

Предположим, что длина волны модуляции намного превышает размеры кристалла, вследствие чего можно пренебречь сдвигом ее фазы за время распространения волны «2» через область взаимодействия с волной «1». Модуль отношения амплитуды поля  $E_2$  в точке  $x$  к амплитуде поля на границе имеет известный вид:

$$\left| \frac{E_2}{E_{20}} \right| = \exp \left( - \frac{\omega_2}{c} k_2'' x \right), \quad (6)$$

где

$$k_2'' = \text{sign} (\text{Im} \varepsilon (\omega_2)) \frac{1}{\sqrt{2}} \{ |\varepsilon (\omega_2)| - \text{Re} \varepsilon (\omega_2) \}^{1/2}. \quad (7)$$

Строго говоря, при исследовании перекрестной модуляции волн необходимо иметь в виду, что  $E_{20}$  зависит от переменной амплитуды поля «1». (Это соответствует модуляции отраженной волны.) Однако при  $\omega_2 \gg \omega_p$ , где  $\omega_p$  — плазменная частота при заданном поле  $E_1$  (а именно, такую

ситуацию мы только и будем рассматривать в дальнейшем), указанной зависимостью можно пренебречь. Для не очень сильных полей  $E_1$ , когда высокочастотная проводимость положительна на всех частотах, глубина модуляции волны «2» на достаточно больших расстояниях может стать близкой к единице. Однако последняя быстро затухает при распространении вглубь кристалла. Более интересной является область полей, где  $\text{Re} \sigma (\omega_2) < 0$  и волна «2» нарастает по амплитуде. Очевидно, что в этом случае кроме сигнала на частоте  $\omega_2$  будет усиливаться и шум. Чтобы уменьшить влияние шума, следует выбирать рабочую точку на плоскости  $\left( \frac{\Omega_1}{\omega_1}, \frac{\omega_2}{\omega_1} \right)$  в максимуме инкремента усиления (см. кривые  $\Omega_1^*$ ).

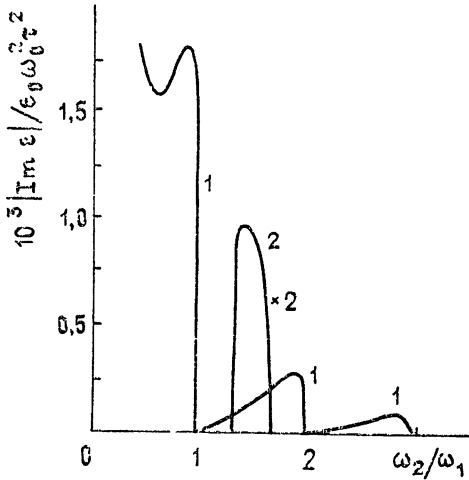


Рис. 2. Максимальное значение  $|\text{Im} \varepsilon| / \varepsilon_0 \omega_0^2 \tau^2$  вдоль экстремальных кривых в зависимости от  $\frac{\omega_2}{\omega_1}$ : 1)  $\omega_1 \tau = 10$ , 2)  $\omega_1 \tau = 1$ .

Рассмотрим, как меняется глубина и форма модуляции волны «2» по мере распространения последней вглубь кристалла. В качестве примера на рис. 4 приведены огибающие сигнала на расстояниях  $\tilde{x} = 50, 100$  ( $\tilde{x} = \frac{\omega_2}{c} x = \frac{2\pi x}{\lambda_2 \sqrt{\varepsilon_0}}$ ) при  $\frac{\omega_2}{\omega_1} = 1,9$ ,  $\omega_1 \tau = 10$ ,  $\mu = 0,5, 0,3$ ,  $\left( \frac{\omega_0}{\omega_1} \right)^2 = 2/3$ ,  $\varepsilon_0 = 12$ ,  $\frac{\Omega_1}{\omega_1} = 5$ . Из приведенных кривых видно, что форма огибающей сигнала может существенно отличаться от формы огибающей накачки и зависит от того, на каком участке динамического сопротивления мы работаем и какова глубина модуляции поля накачки.

Амплитуда сигнала и глубина его модуляции довольно быстро нарастают с расстоянием за счет сильной зависимости инкремента усиления от амплитуды поля накачки. На достаточно больших расстояниях, даже при малой модуляции поля накачки, глубина модуляции волны

«2» становится близкой к 1 и монохроматический сигнал преобразуется в последовательность  $n$ -кратных видеоимпульсов, следующих с частотой  $\gamma$ . Число импульсов на периоде  $T = 2\pi/\gamma$  определяется числом осциллирующей проводимости на периоде огибающей накачки. По мере распространения волны сигнала в нелинейной среде амплитуды всех ее гармоник  $\omega_2 \pm n\gamma$  нарастают, но с разными инкрементами. Это видно и на рис. 4. На небольших расстояниях  $\tilde{x} = 20$  спектральный состав волны довольно сложен. На расстоянии  $x = 100$  основной максимум, обусловленный гармониками с  $n = 1$  для  $\mu = 0,3$  и  $n = 2$  для  $\mu = 0,5$ , нарастает в 15 раз, в то время как побочные максимумы — в 4 раза.

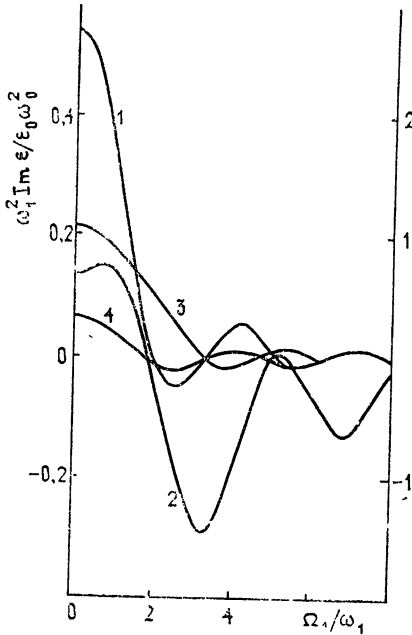


Рис. 3.

Рис. 3. Зависимость реальной (кривые 1, 4) и мнимой (кривые 2, 3) частей диэлектрической проницаемости от  $\frac{\Omega_1}{\omega_1}$  при 1)  $\omega_1\tau = 10$ ,  $\frac{\omega_2}{\omega_1} = 1,9$  (кривые 1, 2);  
2)  $\omega_1\tau = 1$ ,  $\frac{\omega_2}{\omega_1} = 1,45$  (кривые 3, 4).

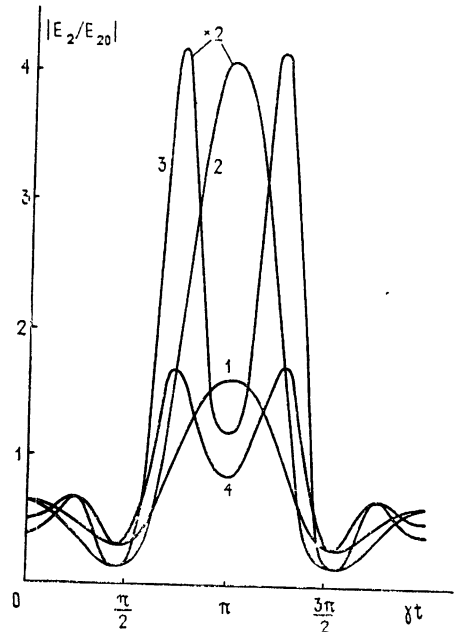


Рис. 4

Рис. 4. Форма модуляции волны „2“ на расстояниях  $\tilde{x} = 50$  (кривые 1, 4), 100 (кривые 2, 3) при  $\frac{\omega_2}{\omega_1} = 1,9$ ,  $\omega_1\tau = 10$ ,  $\frac{\Omega_1}{\omega_1} = 5$ ,  $\mu = 0,3$  (кривые 1, 2),  $\mu = 0,5$  (кривые 3, 4),  $\frac{\omega_0^2}{\omega_1^2} = \frac{2}{3}$ ,  $\epsilon_0 = 12$ .

Рассмотрим ситуацию, когда выполняются неравенства

$$\omega_0^2 \ll \omega_2^2, \quad \omega_{1,2}\tau \gg 1.$$

Для реальной  $\epsilon'$  и мнимой  $\epsilon''$  частей диэлектрической проницаемости в этом случае можно написать

$$\begin{aligned}\varepsilon'(\omega_2) &= \varepsilon_0 \left\{ 1 - \frac{\omega_0^2}{\omega_2^2} J_0^2 \left( \frac{\Omega_1}{\omega_1} \right) \right\}, \\ \varepsilon''(\omega_2) &= \frac{\varepsilon_0 \omega_0^2}{\omega_2 \tau} \sum_{\nu=1}^{\infty} \frac{J_{\nu}^2(\Omega_1/\omega_1)}{\omega_2^2 - \nu^2 \omega_1^2}.\end{aligned}\quad (8)$$

Коэффициент нарастания (затухания)  $k_2''$  равен

$$k_2'' = \frac{1}{2 \sqrt{\varepsilon_0}} \varepsilon''(\Omega_1(t)). \quad (9)$$

Для малой глубины модуляции поля  $E_1$  ( $\mu \ll 1$ ) в первом приближении имеем

$$\varepsilon''(\Omega_1(t)) = \varepsilon''(\Omega_1) + \mu \Omega_1 \frac{\partial \varepsilon''}{\partial \Omega_1} \cos \gamma t + \frac{1}{2} \mu^2 \Omega_1^2 \frac{\partial^2 \varepsilon''}{\partial \Omega_1^2} \cos^2 \gamma t, \quad (10)$$

где

$$\begin{aligned}\frac{\partial \varepsilon''}{\partial \Omega_1} &= \frac{\varepsilon_0 \omega_0^2}{\omega_2 \tau} \sum_{\nu=1}^{\infty} \frac{J_{\nu} \left( \frac{\Omega_1}{\omega_1} \right) \left[ J_{\nu-1} \left( \frac{\Omega_1}{\omega_1} \right) - J_{\nu+1} \left( \frac{\Omega_1}{\omega_1} \right) \right]}{\omega_2^2 - \nu^2 \omega_1^2}, \\ \frac{\partial^2 \varepsilon''}{\partial \Omega_1^2} &= \frac{\varepsilon_0 \omega_0^2}{2 \omega_2 \tau} \sum_{\nu=1}^{\infty} \frac{1}{\omega_2^2 - \nu^2 \omega_1^2} \left\{ \left( J_{\nu+1} \left( \frac{\Omega_1}{\omega_1} \right) - J_{\nu-1} \left( \frac{\Omega_1}{\omega_1} \right) \right)^2 + \right. \\ &\quad \left. + J_{\nu} \left( \frac{\Omega_1}{\omega_1} \right) \left( J_{\nu-2} \left( \frac{\Omega_1}{\omega_1} \right) - 2 J_{\nu} \left( \frac{\Omega_1}{\omega_1} \right) + J_{\nu+2} \left( \frac{\Omega_1}{\omega_1} \right) \right) \right\}.\end{aligned}\quad (11)$$

Если рабочая точка выбрана в максимуме инкремента, то второе слагаемое в (7) зануляется, и необходимо пользоваться вторым приближением по  $\mu$ . Подставляя (10) в (6), на небольших расстояниях от поверхности кристалла для амплитуды распространяющейся волны «2» получим

$$\left| \frac{E_2}{E_{20}} \right| = \exp \left\{ - \frac{\omega_2 x}{2c \sqrt{\varepsilon_0}} \varepsilon''(\Omega_1) \right\} \left\{ 1 - \frac{\mu \omega_2 x}{2c \sqrt{\varepsilon_0}} \Omega_1 \frac{\partial \varepsilon''}{\partial \Omega_1} \cos \gamma t \right\} \quad (12)$$

при  $\frac{\partial \varepsilon''}{\partial E_1} \neq 0$ ,

$$\begin{aligned}\left| \frac{E_2}{E_{20}} \right| &= \exp \left\{ - \frac{\omega_2 x}{2c \sqrt{\varepsilon_0}} \left[ \varepsilon''(\Omega_1) + \frac{1}{4} \mu^2 \Omega_1^2 \frac{\partial^2 \varepsilon''}{\partial \Omega_1^2} \right] \right\} \times \\ &\quad \times \left\{ 1 - \frac{\mu^2 \omega_2 x}{8c \sqrt{\varepsilon_0}} \Omega_1^2 \frac{\partial^2 \varepsilon''}{\partial \Omega_1^2} \cos 2\gamma t \right\}\end{aligned}\quad (13)$$

при  $\frac{\partial \varepsilon''}{\partial E_1} = 0$ .

Из приведенных формул видно, что на краю области неустойчивости основной вклад в формирование огибающей дают гармоники с частотой  $\omega_2 \pm \gamma$ , а в максимуме инкремента гармоники с частотой  $\omega_2 \pm 2\gamma$ .

Вместо модуляции амплитуды накачки можно модулировать ее частоту. Волна «2» при этом будет приобретать амплитудную модуляцию.

Качественно картина близка к рассмотренной выше, так как характер распространения сигнала зависит от отношения  $\Omega_1/\omega_1$ .

При решении задачи предполагалось, что амплитуда поля «1» внутри среды остается постоянной. Очевидно, что если волна «1» затухает при распространении вглубь кристалла, степень возмущения среды с ростом  $x$  меняется. Как следствие, с расстоянием  $x$  будут меняться амплитуда проходящей волны и глубина ее модуляции.

Модуляцию высокочастотного сигнала, распространяющегося вдоль плоскости слоев сверхрешетки, можно также осуществить, воздействуя на него сильным квазистатическим полем  $\Omega_c(t) = \Omega_0(1 + \mu \cos \gamma t)$ . Этот эффект подобен электрооптическому эффекту, который широко используется в оптоэлектронике для модуляции света.

Анализ формы огибающей сигнала аналогичен приведенному выше. Соответствующая диэлектрическая проницаемость сверхрешетки на частоте  $\omega_2$  имеет вид [1, 5]

$$\epsilon(\omega_2) = \epsilon_0 \left\{ 1 - \frac{\omega_0^2}{\omega_2^2} \left[ \frac{1}{1 + \Omega_c^2(t)\tau^2} - \frac{1 - i\omega_2\tau}{(1 - i\omega_2\tau)^2 + \Omega_c^2(t)\tau^2} \right] \right\}. \quad (14)$$

Согласно (14) при  $\max \Omega_c^2 > \omega_2^2 + \tau^{-2}$  сверхрешетка является активной средой в течение части периода квазистатического поля. Поэтому так же, как и в предыдущем случае, сигнал будет не только модулироваться по амплитуде, но и усиливаться.

В заключение отметим, что рассмотренные в настоящей работе процессы могут быть использованы для модуляции и детектирования высокочастотного сигнала с одновременным его усилением, а также для получения коротких импульсов. С другой стороны, полученные результаты могут быть использованы для анализа влияния низкочастотного шума на характеристики сигнала.

Авторы выражают глубокую признательность А. М. Белянцеву и В. Н. Шабанову за ряд ценных замечаний.

#### ЛИТЕРАТУРА

1. Л. К. Орлов, Ю. А. Романов, ФТТ, 19, 726 (1977).
2. В. В. Павлович, ФТТ, 19, 97 (1977).
3. В. Л. Гинзбург, Распространение электромагнитных волн в плазме, изд. Наука, М., 1967.
4. А. А. Игнатов, Ю. А. Романов, ФТТ, 17, 3388 (1975)
5. Ю. А. Романов, В. П. Бовин, Л. К. Орлов, ФТП, 12, 1665 (1978).

Научно-исследовательский физико-технический институт при Горьковском университете

Поступила в редакцию 9 февраля 1979 г.

#### CROSS MODULATION OF ELECTROMAGNETIC WAVES IN SEMICONDUCTORS WITH A SUPERLATTICE

L. K. Orlov, Yu. A. Romanov

The authors investigate cross modulation of electromagnetic waves in semiconductors with a superlattice (SL) which is due to a strong dependence of the increment of growing (damping) and the phase velocity of a signal on the frequency and amplitude of the pumping field. It is shown, that due to the presence of the negative microwave conductivity a signal in superlattice may be amplified essentially and have a considerable larger depth of modulation than the pumping field. The form of the signal envelope is changed when parameters of the pumping field and its modulation variate.